

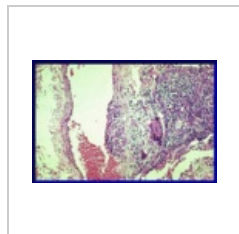
Kategorie:CC-BY-NC-ND soubory

Zde jsou umístěny soubory s licencí Creative Commons BY-NC-ND.

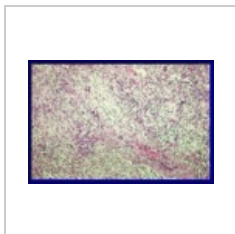
Media in category "CC-BY-NC-ND soubory"

The following 200 files are in this category, out of 700 total.

(previous page) (next page)



002 Transmuráln...
355 × 235; 70 KB



003 Granulomató...
357 × 239; 82 KB



4metakarpy A.jpg
1,400 × 1,672; 989 KB



4metakarpy B.jpg
1,320 × 1,664; 836 KB



Abrupce proc. co...
2,126 × 2,852; 2 MB



Abrupce velkého ...
1,256 × 2,488;
1.25 MB



Ankyloza lokte.jpg
1,756 × 1,709; 646 KB



Aorta, RF 0,4x.jpeg
783 × 540; 130 KB



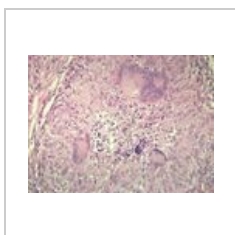
Aorta, RF 20x.jpeg
783 × 540; 703 KB



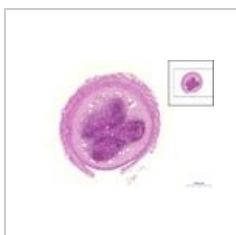
Aorta, RF 40x.jpeg
783 × 540; 745 KB



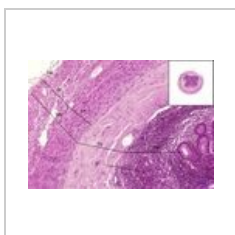
Aorta, RF 5x.jpeg
783 × 540; 781 KB



Apoptóza u sarko...
600 × 443; 107 KB



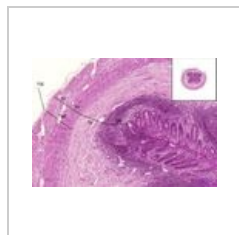
Appendix, HE 1,3...
783 × 540; 299 KB



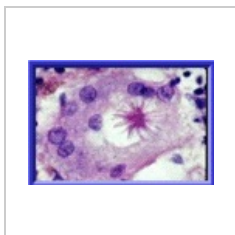
Appendix, HE 10...
783 × 540; 631 KB



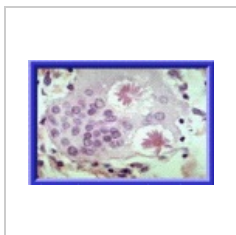
Appendix, HE 20...
783 × 540; 629 KB



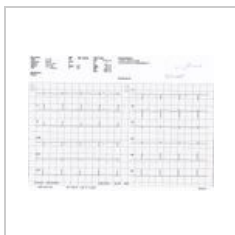
Appendix, HE 5x...
783 × 540; 655 KB



Asteroidní tělísko...
211 × 142; 12 KB



Asteroidní tělísko...
215 × 146; 12 KB



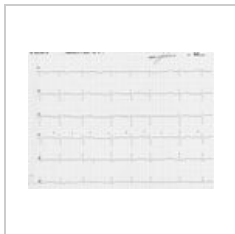
Atypický AV blok ...
720 × 527; 157 KB



Auerove tyce.jpeg
700 × 463; 86 KB



AV blok III.st. (2)...
700 × 538; 182 KB



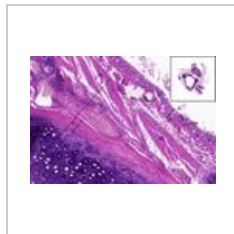
AV blok III.st.jpg
700 × 516; 181 KB



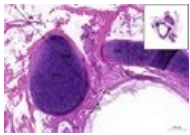
Avulze baze stre...
376 × 1,260; 122 KB



Biologické metod...
1,166 × 848; 149 KB



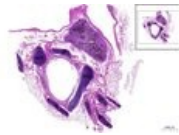
Bronchus segme...
783 × 540; 609 KB



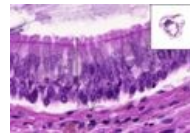
Bronchus segme...
783 × 540; 569 KB



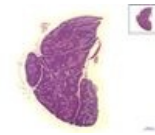
Bronchus segme...
783 × 540; 617 KB



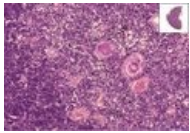
Bronchus segme...
783 × 540; 348 KB



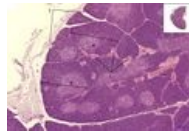
Bronchus - HE, 6...
783 × 540; 490 KB



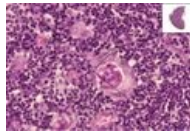
Brzlík-Thymus HE...
783 × 540; 232 KB



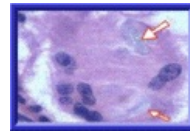
Brzlík-Thymus, H...
783 × 540; 684 KB



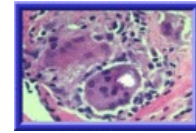
Brzlík-Thymus, H...
783 × 540; 608 KB



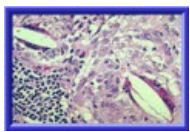
Brzlík-Thymus, H...
783 × 540; 601 KB



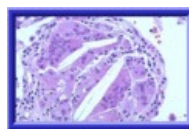
Calcium-oxalátov...
213 × 147; 11 KB



Calcium-oxalátov...
214 × 150; 14 KB



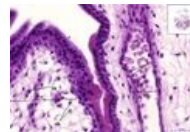
Cholesterolový kr...
214 × 144; 16 KB



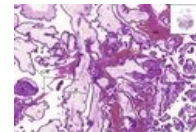
Cholesterolový kr...
212 × 140; 11 KB



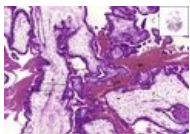
Chorion frondosu...
783 × 540; 248 KB



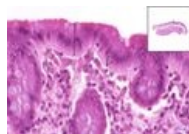
Chorion frondosu...
783 × 540; 535 KB



Chorion frondosu...
783 × 540; 718 KB



Chorion frondosu...
783 × 540; 738 KB



Colon - HE, 40x.jpg
783 × 540; 469 KB



Crohn1.jpg
300 × 250; 83 KB



Crohn2.jpg
300 × 254; 73 KB



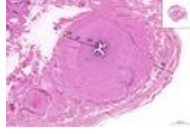
Dextrokardie.jpg
2,688 × 2,208;
1.74 MB



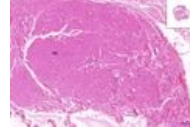
Ductus deferens ...
783 × 540; 260 KB



Ductus deferens ...
783 × 540; 677 KB



Ductus deferens ...
783 × 540; 576 KB



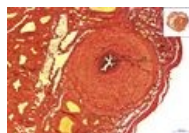
Ductus deferens ...
783 × 540; 674 KB



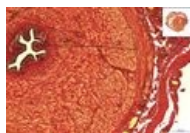
Ductus deferens ...
783 × 540; 396 KB



Ductus deferens ...
783 × 540; 736 KB



Ductus deferens ...
783 × 540; 769 KB



Ductus deferens ...
783 × 540; 870 KB



Ductus deferens,...
783 × 540; 623 KB



Ductus deferens,...
783 × 540; 341 KB



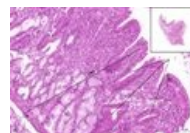
Ductus deferens,...
783 × 540; 606 KB



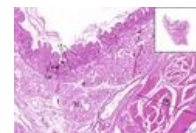
Ductus deferens,...
783 × 540; 655 KB



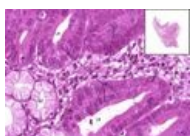
Duodenum, HE 0,...
783 × 540; 279 KB



Duodenum, HE 1...
783 × 540; 674 KB



Duodenum, HE 2...
783 × 540; 670 KB



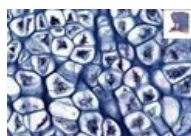
Duodenum, HE 4...
783 × 540; 582 KB



Enchondrální osif...
783 × 540; 324 KB



Enchondrální osif...
783 × 540; 595 KB



Enchondrální osif...
783 × 540; 590 KB



Enchondrální osif...
783 × 540; 779 KB



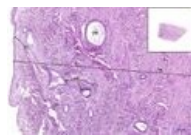
Endocervix HE 0,...
783 × 540; 323 KB



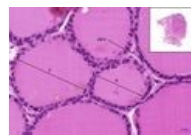
Endocervix HE 1...
783 × 540; 581 KB



Endocervix HE 2x...
783 × 540; 589 KB



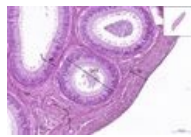
Endocervix HE 5x...
783 × 540; 684 KB



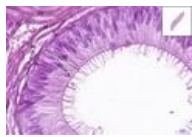
Endokrinní žlázy...
783 × 540; 465 KB



Epididymis HE, 0...
783 × 540; 131 KB



Epididymis HE, 1...
783 × 540; 534 KB



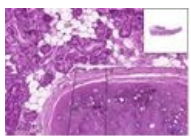
Epididymis HE, 4...
783 × 540; 548 KB



Epididymis HE, 5...
783 × 540; 630 KB



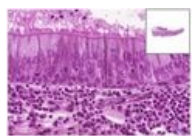
Epiglottis, HE 0,5...
783 × 540; 234 KB



Epiglottis, HE 10...
783 × 540; 602 KB



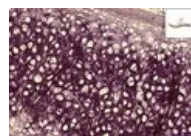
Epiglottis, HE 2x...
783 × 540; 458 KB



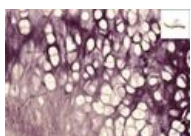
Epiglottis, HE 40...
783 × 540; 607 KB



Epiglottis, RF 0,5...
783 × 540; 208 KB



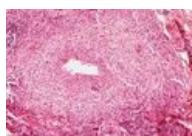
Epiglottis, RF 10x...
783 × 540; 623 KB



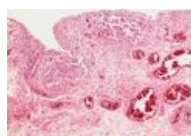
Epiglottis, RF 20x...
783 × 540; 569 KB



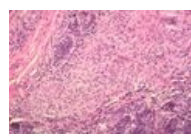
Epiglottis, RF 2x.j...
783 × 540; 415 KB



Extrapulmonální ...
533 × 364; 98 KB



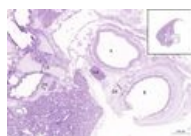
Extrapulmonální ...
533 × 370; 92 KB



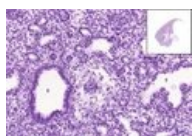
Extrapulmonální ...
600 × 398; 88 KB



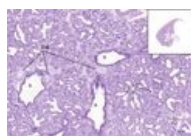
Fetální plíce- Fet...
783 × 540; 188 KB



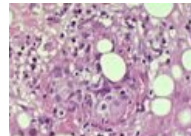
Fetální plíce- Fet...
783 × 540; 493 KB



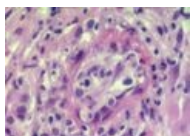
Fetální plíce- Fet...
783 × 540; 626 KB



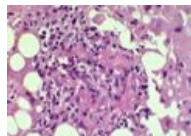
Fetální plíce- Fet...
783 × 540; 701 KB



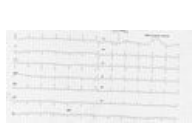
Fibrin ring granul...
533 × 403; 83 KB



Fibrin ring granul...
533 × 400; 64 KB



Fibrin ring granul...
533 × 407; 77 KB



Flutter síní.jpg
871 × 435; 126 KB



Foto Jaromir Sra...
159 × 193; 7 KB



Fr.calcanea.axial...
584 × 845; 291 KB



Fr.calcanea.bocn...
2,024 × 1,065; 944
KB



Fr.dentu ap.jpg
800 × 1,384; 595
KB



Fr.dentu bocna.jpg
1,112 × 1,600; 811
KB



Fr.lopatky.jpg
2,465 × 1,870;
1.58 MB



Fr.lopatky2AP.jpg
1,768 × 1,659;
1.34 MB



Fr.lopatky2TT.jpg
1,104 × 1,651; 920
KB



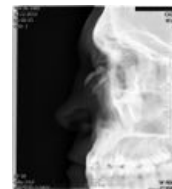
Fr.orbity.jpg
1,432 × 1,824; 650
KB



Fraktura femorál...
1,824 × 2,688;
1.91 MB



Fraktura mandib...
1,192 × 2,160;
1.05 MB



Fraktura nosnich ...
944 × 1,056; 426
KB



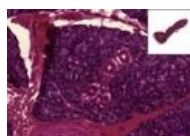
Galeazziho zlome...
2,514 × 2,955;
1.35 MB



Galeazziho zlome...
1,468 × 2,032; 863
KB



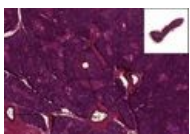
Glandula parotis...
783 × 540; 193 KB



Glandula parotis...
783 × 540; 553 KB



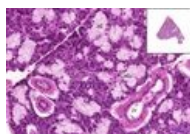
Glandula parotis...
783 × 540; 537 KB



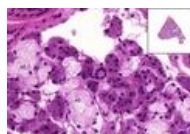
Glandula parotis...
783 × 540; 579 KB



Glandula subling...
783 × 540; 266 KB



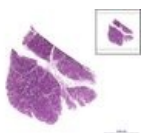
Glandula subling...
783 × 540; 647 KB



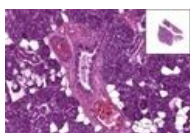
Glandula subling...
783 × 540; 555 KB



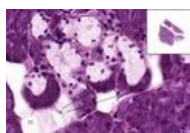
Glandula subling...
783 × 540; 710 KB



Glandula subman...
783 × 540; 227 KB



Glandula subman...
783 × 540; 635 KB



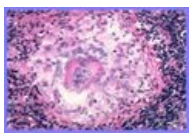
Glandula subman...
783 × 540; 560 KB



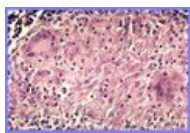
Glandula subman...
783 × 540; 611 KB



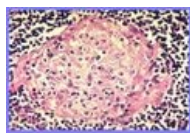
Graf-1.png
534 × 476; 18 KB



Granuloma non-n...
310 × 210; 28 KB



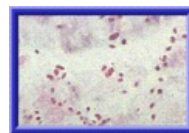
Granuloma non-n...
310 × 210; 31 KB



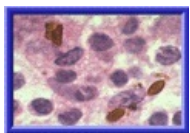
Granuloma non-n...
310 × 210; 35 KB



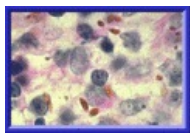
Granulomatózní ...
358 × 238; 82 KB



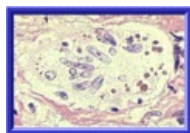
Hamazakiho-Wes...
216 × 149; 11 KB



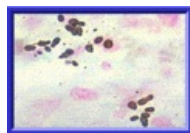
Hamazakiho-Wes...
215 × 149; 12 KB



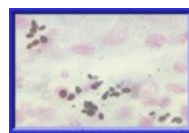
Hamazakiho-Wes...
212 × 144; 12 KB



Hamazakiho-Wes...
213 × 147; 12 KB



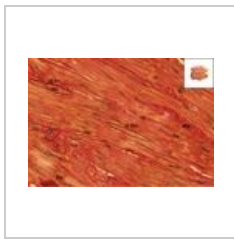
Hamazakiho-Wes...
212 × 146; 10 KB



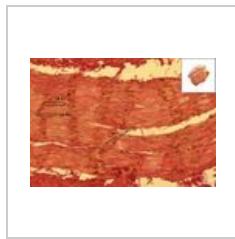
Hamazakiho-Wes...
210 × 142; 7 KB



Hemivertebra.jpg
1,136 × 2,418;
1.46 MB



Hladký sval- Smo...
783 × 540; 601 KB



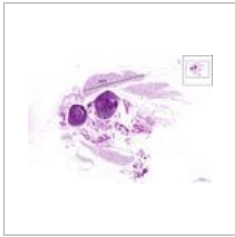
Hladký sval- Smo...
783 × 540; 630 KB



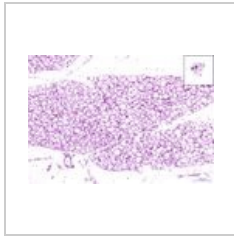
Hladký sval- Smo...
783 × 540; 687 KB



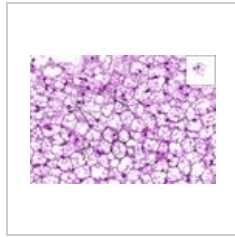
Hladký sval- Smo...
783 × 540; 721 KB



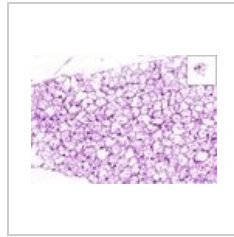
Hnědá tuková tk...
783 × 540; 376 KB



Hnědá tuková tk...
783 × 540; 622 KB



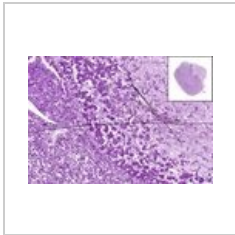
Hnědá tuková tk...
783 × 540; 648 KB



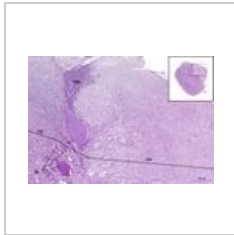
Hnědá tuková tk...
783 × 540; 639 KB



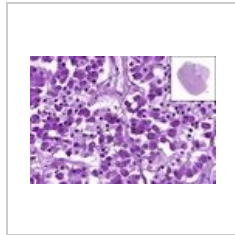
Hypofýza- Hypop...
783 × 540; 210 KB



Hypofýza- Hypop...
783 × 540; 690 KB



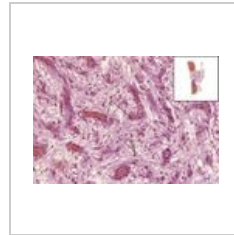
Hypofýza- Hypop...
783 × 540; 594 KB



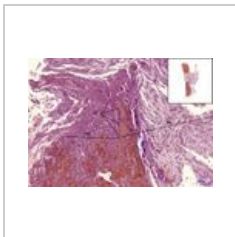
Hypofýza- Hypop...
783 × 540; 626 KB



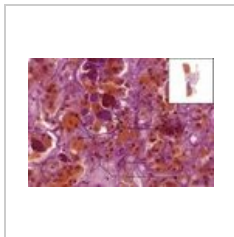
Hypofýza- Hypop...
783 × 540; 145 KB



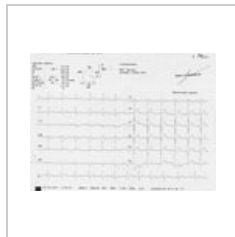
Hypofýza- Hypop...
783 × 540; 597 KB



Hypofýza- Hypop...
783 × 540; 673 KB



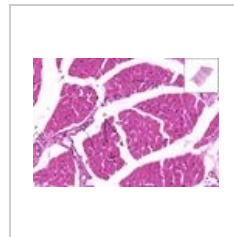
Hypofýza- Hypop...
783 × 540; 596 KB



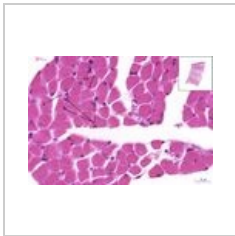
IRBBB.jpg
723 × 534; 121 KB



Jazyk - radix - Ro...
783 × 540; 290 KB



Jazyk - radix- Ton...
783 × 540; 643 KB



Jazyk - radix- Ton...
783 × 540; 662 KB



Jazyk - radix - Ro...
783 × 540; 539 KB



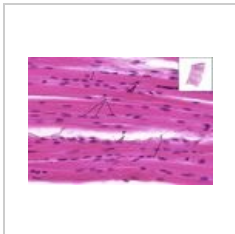
Jazyk - radix- Ro...
783 × 540; 484 KB



Jazyk - radix- Ro...
783 × 540; 597 KB



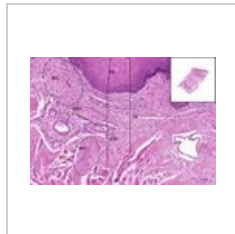
Jazyk - radix- Ton...
783 × 540; 655 KB



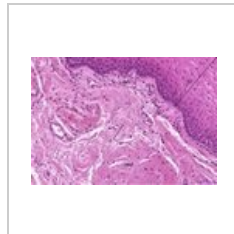
Jazyk - radix- Ton...
783 × 540; 663 KB



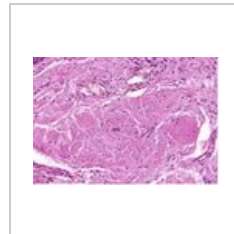
Jazyk-hřbet - Dor...
783 × 540; 273 KB



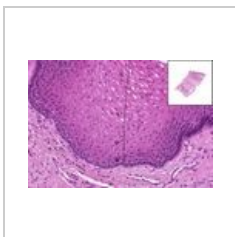
Jazyk-hřbet - Dor...
783 × 540; 675 KB



Jazyk-hřbet - Dor...
783 × 540; 748 KB



Jazyk-hřbet - Dor...
783 × 540; 782 KB



Jazyk-hřbet - Dor...
783 × 540; 624 KB



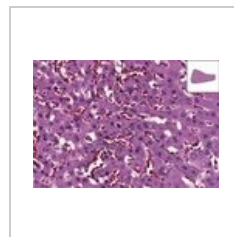
Jazyk-hřbet - Dor...
783 × 540; 663 KB



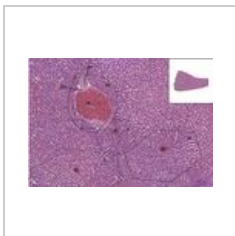
Játra- Liver, HE 0,...
783 × 540; 353 KB



Játra- Liver, HE 2...
783 × 540; 692 KB



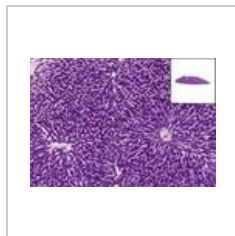
Játra- Liver, HE 4...
783 × 540; 679 KB



Játra- Liver, HE 5...
783 × 540; 720 KB



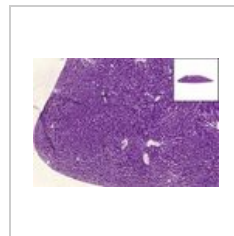
Játra- Liver, PAS ...
783 × 540; 184 KB



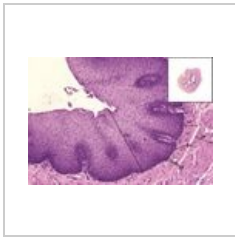
Játra- Liver, PAS ...
783 × 540; 736 KB



Játra- Liver, PAS ...
783 × 540; 682 KB



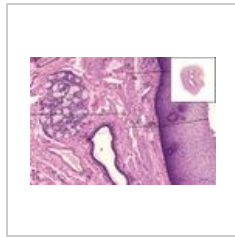
Játra- Liver, PAS ...
783 × 540; 718 KB



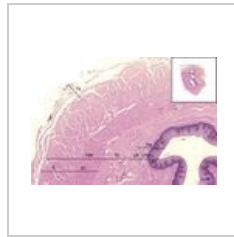
Jícen- Esofagus - ...
783 × 540; 560 KB



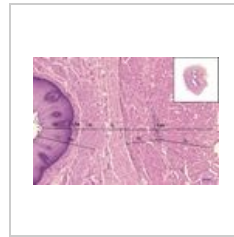
Jícen- Esofagus ...
783 × 540; 232 KB



Jícen- Esofagus ...
783 × 540; 621 KB



Jícen- Esofagus ...
783 × 540; 522 KB



Jícen- Esofagus ...
783 × 540; 675 KB



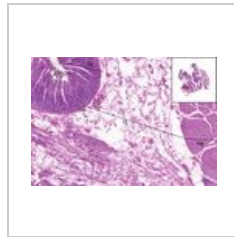
Kardie Žaludku- ...
783 × 540; 252 KB



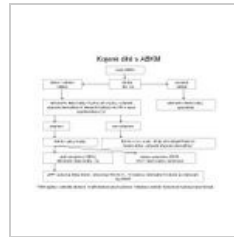
Kardie Žaludku- ...
783 × 540; 489 KB



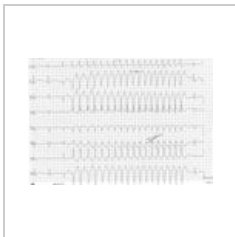
Kardie Žaludku- ...
783 × 540; 628 KB



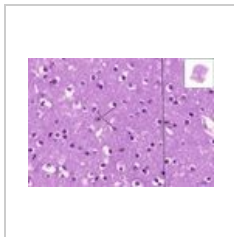
Kardie Žaludku- ...
783 × 540; 637 KB



Kojené dítě s AB...
1,107 × 842; 122 KB



Komorová tachyk...
860 × 585; 159 KB



Kůra mozku- cer...
783 × 540; 640 KB



Kůra mozku- cer...
783 × 540; 223 KB



Kůra mozku- cer...
783 × 540; 544 KB



Kůra mozku- cer...
783 × 540; 609 KB



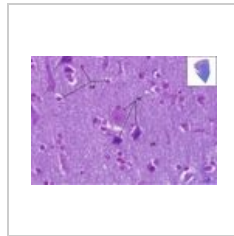
Kůra mozku- cer...
783 × 540; 166 KB



Kůra mozku- cer...
783 × 540; 672 KB



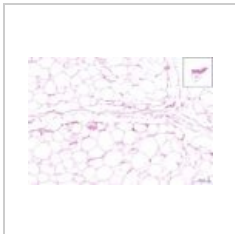
Kůra mozku- cer...
783 × 540; 630 KB



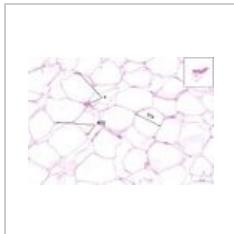
Kůra mozku- cer...
783 × 540; 572 KB



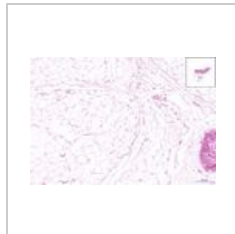
Kůže břicha-Skin...
783 × 540; 235 KB



Kůže břicha-Skin...
783 × 540; 376 KB



Kůže břicha-Skin...
783 × 540; 301 KB



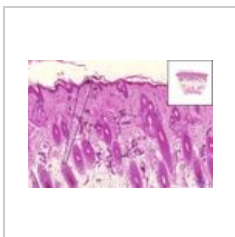
Kůže břicha-Skin...
783 × 540; 500 KB



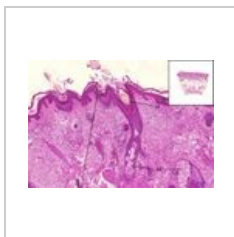
Kůže s vlasy- Ski...
783 × 540; 325 KB



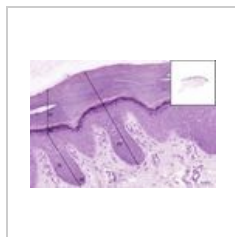
Kůže s vlasy- Ski...
783 × 540; 640 KB



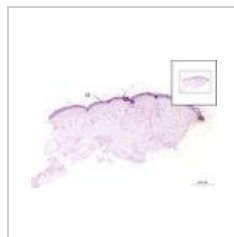
Kůže s vlasy- Ski...
783 × 540; 629 KB



Kůže s vlasy- Ski...
783 × 540; 622 KB



Kůže tlustého typ...
783 × 540; 471 KB



Kůže tlustého typ...
783 × 540; 272 KB



Kůže tlustého typ...
783 × 540; 469 KB

